

---

# Rapport du TP algorithmique distribuée

---

*Auteur* : IKHLEF Ali

Filière : Génie Informatique

Spécialité : RSI

Année Universitaire  
2020/2021



# Table des matières

<b>Table des figures</b>	<b>3</b>
<b>Liste des tableaux</b>	<b>3</b>
<b>1 Diffusion de l'information</b>	<b>5</b>
1.1 Restrictions . . . . .	5
1.2 Diffuse_v0 . . . . .	5
1.3 Diffuse_v1 . . . . .	5
1.4 Diffuse_v2 . . . . .	6
1.5 Diffuse_v3 . . . . .	7
1.5.1 Complexité de diffuse_v3 . . . . .	7
1.5.2 Résultats et interprétations . . . . .	8
<b>2 Wake up</b>	<b>9</b>
2.1 Restrictions . . . . .	9
2.2 Résultats . . . . .	9
<b>3 Parcours</b>	<b>10</b>
3.1 Restrictions . . . . .	10
3.2 Algorithme de Terry . . . . .	10
3.3 Parcours par profondeur (DFT) . . . . .	10
<b>4 Construction d'un ACM</b>	<b>11</b>
4.1 restrictions . . . . .	11
4.2 Résultats . . . . .	11
<b>5 Routage</b>	<b>13</b>
5.1 restrictions . . . . .	13
5.2 topologie utilisée . . . . .	13
5.3 Résultats . . . . .	14
5.3.1 Interprétation et Comparaison . . . . .	15
<b>6 Arbre de diffusion</b>	<b>16</b>
6.1 restrictions . . . . .	16
6.2 Algorithme . . . . .	16
6.3 Résultats . . . . .	17
6.3.1 Saturation . . . . .	17
6.3.2 Détermination du centre . . . . .	17
6.3.3 BFT à partir du centre . . . . .	18

<b>7</b>	<b>Capture d'Etat global</b>	<b>19</b>
7.1	Restrictions . . . . .	19
7.2	Résultats . . . . .	19
<b>8</b>	<b>Problème de processus noirs</b>	<b>21</b>
8.1	Restrictions . . . . .	21
8.2	Enoncé . . . . .	21
8.3	Protocole utilisé . . . . .	21
8.4	Résultats . . . . .	22

## Table des figures

1.1	résultats de la simulation avec des différents valeurs de <i>alpha</i> . . . . .	8
4.1	exécution de ST_v0 . . . . .	11
	(a) topologie . . . . .	11
	(b) resultats . . . . .	11
4.2	exécution de ST_v1(Avec terminaison global) . . . . .	12
	(a) topologie . . . . .	12
	(b) resultats . . . . .	12
4.3	exécution de ST_v2(implicit negative acknowledgment) . . . . .	12
	(a) topologie . . . . .	12
	(b) resultat . . . . .	12
4.4	exécution de ST_DFT(ACM avec parcours DFT) . . . . .	12
	(a) topologie . . . . .	12
	(b) resultat . . . . .	12
5.1	Arbre minimal de Steiner . . . . .	13
5.2	diagrammes espace-temps . . . . .	14
	(a) RR_v0 . . . . .	14
	(b) RR_v1 . . . . .	14
6.1	La saturation dans un arbre. . . . .	17
6.2	Cas possible du centres d'un graphe . . . . .	17
	(a) un seul centre . . . . .	17
	(b) deux centres voisins . . . . .	17
6.3	Parcours BFT à partir du centre dans un arbre . . . . .	18
6.4	Parcours BFT à partir du centre dans un graphe quelconque . . . . .	18
	(a) Arbre avec un seul centre . . . . .	18
	(b) Arbre avec deux centres voisins . . . . .	18
	(a) topologie 01 . . . . .	18
	(b) topologie 02 . . . . .	18
7.1	Topologie utilisée. . . . .	19
7.2	Diagramme espace temps de l'exécution. . . . .	20
7.3	Log. . . . .	20
8.1	Etat avant et après l'exécution du protocole . . . . .	22
	(a) RR_v0 . . . . .	22
	(b) RR_v1 . . . . .	22

## Liste des tableaux

1.1	Résultats de la simulation. . . . .	6
1.2	résultats de la regression . . . . .	8
2.1	Résultats de la simulation Wflood. . . . .	9
5.1	statistiques de RR_v0 . . . . .	14
5.2	statistiques de RR_v1 . . . . .	14
5.3	statistiques de RT_v0 . . . . .	15
5.4	statistiques de RT_v1 . . . . .	15

# Lab 1

## Diffusion de l'information

la complexité du problème de diffusion en term de nombre de message et de temps est :

$$M[\text{diffuse}/\mathbf{RI}+] = O(m) \text{ et } T[\text{diffuse}/\mathbf{RI}+] = O(d(G))$$

## Restrictions

- l'ensemble des restrictions standard  $\mathbf{R} = \{\text{BL}, \text{CN}, \text{TR}\}$ , [ Liens bidirectionnels (BL),Connectivité (CN) et Fiabilité(TR) ].
- L'initiateur unique est celui qui détient l'information initiale  $\mathbf{UI}+$ ,

## Diffuse\_v0

- 1) initiator  $\times S_p \rightarrow \{ \text{send}(I) \text{ to } N(x); \}$
- 2) idle  $\times R_{msg} \rightarrow \{ \text{Process}(I); \text{send}(I) \text{ to } N(x); \}$
- 3) initiator  $\times R_{msg} \rightarrow \mathbf{nil}$
- 4) idle  $\times S_p \rightarrow \mathbf{nil}$

On constate que l'algorithme **diffuse\_v0** ne s'arrêtera jamais car lorsqu'un nœud déjà informé reçoit un message ,il va le renvoyé.

## Diffuse\_v1

Afin de résoudre le probleme vu en **diffuse\_v0** on introduit un nouveau état **done** , donc un noeud ne revoie pas de messages à ces voisins que lorsque il reçoit un message pour la premier fois.

- 1) initiator  $\times S_p \rightarrow \{ \text{send}(I) \text{ to } N(x); \mathbf{become done} \}$
- 2) idle  $\times R_{msg} \rightarrow \{ \text{Process}(I); \text{send}(I) \text{ to } N(x); \mathbf{become done} \}$
- 3) initiator  $\times R_{msg} \rightarrow \mathbf{nil}$
- 4) idle  $\times S_p \rightarrow \mathbf{nil}$
- 5) **done**  $\times R_{msg} \rightarrow \mathbf{nil}$
- 6) **done**  $\times S_p \rightarrow \mathbf{nil}$

## Diffuse\_v2

Afin d'améliorer **diffuse\_v1** on ne doit pas envoyer le message au **sender** l'algorithme devient :

- 1) initiator  $\times S_p \rightarrow \{ \text{send}(I) \text{ to } N(x); \text{become done} \}$
- 2) idle  $\times R_{msg} \rightarrow \{ \text{Process}(I); \text{become done}; \text{send}(I) \text{ to } N(x)\text{-sender}; \}$
- 3) initiator  $\times R_{msg} \rightarrow \mathbf{nil}$
- 4) idle  $\times S_p \rightarrow \mathbf{nil}$
- 5) **done**  $\times R_{msg} \rightarrow \mathbf{nil}$
- 6) **done**  $\times S_p \rightarrow \mathbf{nil}$

topologie	$n$	$m$	$M_{diffuse\_v1}$	$M_{diffuse\_v2}$
$FullGraph_4$	4	$\frac{n(n-1)}{2}$	24	21
$FullGraph_5$	5		40	36
$FullGraph_6$	6		60	55
$FullGraph_{100}$	100		19800	19701
$HyperCube_{k=2}$	$2^2$	$\frac{n \times k}{2} = 4$	16	13
$HyperCube_{k=3}$	$2^3$	12	48	41
$HyperCube_{k=4}$	$2^4$	32	128	113
$HyperCube_{k=10}$	$2^{10}$	5120	20480	19475
$BTree_{h=1}$	$2^{h+1} - 1$	$n - 1$	4	2
$BTree_{h=4}$			32	16
$BTree_{h=8}$			512	256
$BTree_{h=10}$			2048	1024
$Ring_4$	4	4	8	5
$Ring_{10}$	10	10	20	11
$Ring_{30}$	30	30	30	31
$Ring_{100}$	100	100	200	101
$Chain_3$	3	2	4	2
$Chain_{10}$	10	9	18	9
$Chain_{100}$	100	99	198	99
$Chain_{1000}$	1000	999	1998	999
$Random_{n=10, u(0,1) < \frac{1}{2}}$	10	29	82	73
$Random_{n=99, u(0,1) < \frac{1}{2}}$	99	7350	9708	9610

TABLE 1.1: Résultats de la simulation.

- Dans la topologie Arbre **diffuse\_v2** améliore bien la complexité par un facteur de  $\frac{1}{2}$ . Donc il est préférable d'utiliser cette version dans un tel arbre.
- Dans des topologie Random l'amélioration n'apparaît pas.
- Dans d'autre topologie **diffuse\_v2** diminue le nombre de messages avec  $n - 1$



## Diffuse\_v3

- 1) initiator  $\times S_p \rightarrow \{ \text{send}(I, N(x)) \text{ to } N(x); \text{become done} \}$
- 2) idle  $\times R_{msg}(I, Z) \rightarrow \{$   
     Process( $I$ ); **become done**; send( $I$ ) to  $N(x) - sender$ ;  
     **if**( $Y = (N(x) - Z) \neq \emptyset$ ) send( $I, Y \cup Z + x$ ) to  $Y$ ;  
     }  
 3) initiator  $\times R_{msg}(I, Z) \rightarrow \text{nil}$
- 4) idle  $\times S_p \rightarrow \text{nil}$
- 5) **done**  $\times R_{msg}(I, Z) \rightarrow \text{nil}$
- 6) **done**  $\times S_p \rightarrow \text{nil}$

L'algorithme **diffuse\_v3** résoudre correctement le problème de diffusion de l'information .

Dans cette partie les résultats des simulations sont stockées dans le fichier **diffuse\_v3\_res.csv** pour la suite on va les utilisées pour déterminer la complexité.

### Remarques

- **diffuse\_v3** souffre du problème que un noeud reçoie plusieurs messages, supposons que l'initiateur a  $n$  voisins qui ne sont pas reliés entre eux , ces derniers ont un voisin en commun. ce noeud reçoie plus d'un message du fait qu'aucune des noeud connue q'il est déjà informé.
- l'utilisation de **diffuse\_v3** sera donc préférable dans des topologie spécifique .

### Complexité de diffuse\_v3

L'initiateur dans un graphe de  $n$  sommets envoie  $|N(I)|$  messages à ses voisins et après chacun d'eux ( $x$ ) refait la même chose en envoyant des messages à ses voisins sauf ceux qui sont dans le champs  $Z$  (l'initiateur et ses voisins  $N(I) - x$  ).

D'où, on peut dire que ce dernier noeud exécute un algorithme de diffusion sur un graphe de  $n - N(I)$  sommets.

$$\text{Donc } M_n = |N(I)| \times (1 + M_{n-|N(I)|})$$

$M_n$  : la complexité de l'algorithme dans un graphe de  $n$  sommets,  $N(I)$  : l'ensemble de voisins de l'initiateur  $I$ .

De plus, on peut admettre que la complexité de cet algorithme ne dépend pas de  $n$  et  $m$  uniquement mais aussi de la disposition des liens.

L'étude est faite dans un graphe aleatoire dans les liens sont générés à l'aide d'une loi de probabilité Uniforme sur l'intervalle  $[0, 1]$  .  
 telle que si  $U[0, 1] < \alpha \Rightarrow (x, y) \in E(G)$  ,  $\alpha$  est un hyperparametre

## Résultats et interprétations



FIGURE 1.1: résultats de la simulation avec des différents valeurs de  $\alpha$

$$M = (2 \times m \times slope) \times n + intercept$$

alpha	slope	intercept	score
0.2	0.5466	83.044	0.9986
0.4	0.3487	196.5706	0.9964
0.6	0.1953	309.5794	0.9869
0.8	0.0640	271.7635	0.9223

TABLE 1.2: résultats de la regression

- le nombre de messages  $\mathbf{M}$  est en fonction de  $\alpha, n$ .
- le nombres de messages  $\mathbf{M}$  est polynomial en terme de nombre de liens  $\mathbf{m}$ .
- lorsque la connectivité augmente , le nombre de message diminue d'une manière sinificative , c'est l'inverse lorsque elle diminue .
- il est préférable donc d'utiliser **diffuse\_v3** lorsqu'il s'agit des topologie fotement connectées.

# Lab 2

## Wake up

la complexité du problème de flooding en term de nombre de message et de temps est :

$$2m \geq M[\text{Wflood}] \geq 2m - n - 1$$
$$M[\text{Wflood}/\mathbf{R}] = O(m) \text{ et } T[\text{Wflood}/\mathbf{R}] = O(d(G))$$

## Restrictions

- l'ensemble des restrictions standard  $\mathbf{R} = \{\text{BL}, \text{CN}, \text{TR}\}$ , [ Liens bidirectionnels (BL),Connectivité (CN) et Fiabilité(TR) ].

## Résultats

topologie	$n$	$m$	$M_{wflood}$
$Random_5$	5	5	13
$Random_6$	6	11	25
$Random_7$	7	12	30
$HyperCube_{k=3}$			46
$HyperCube_{k=4}$			122
$HyperCube_{k=5}$			306
$BTree_{h=3}$			14
$BTree_{h=4}$			25
$BTree_{h=5}$			50
$FullGraph_7$			82
$FullGraph_8$			110
$FullGraph_{12}$			261

TABLE 2.1: Résultats de la simulation Wflood.

# Lab 3

## Parcours

### Restrictions

- l'ensemble des restrictions standard  $\mathbf{R} = \{\text{BL}, \text{CN}, \text{TR}\}$ , [ Liens bidirectionnels (BL),Connectivité (CN) et Fiabilité(TR) ].
- L'initiateur unique est celui qui détient l'information initiale  $\mathbf{UI}+$ ,

### Algorithme de Terry

- la complexité de cet algorithme est  $M[\text{TerryTraversal}/\mathbf{R}] = O(2m)$ , du fait qu'on a 2 messages exactement sur chaque lien.

### Parcours par profondeur (DFT)

- $T[\text{DFT\_v0}] = M[\text{DFT\_v0}] = 2m$
- $T[\text{DFT\_v1}] = 4n - 2$  et  $M[\text{DFT\_v1}] = 4m$
- $T[\text{DFT\_v2}] = 4n - 2$  et  $M[\text{DFT\_v2}] \leq 4m - n + 1$
- $T[\text{DFT\_v3}] = 2n - 2$  et  $M[\text{DFT\_v3}] \leq 4m - 2n + f^* + 1$  ,  $f^*$  désigne le nombre de feuilles dans le graphe

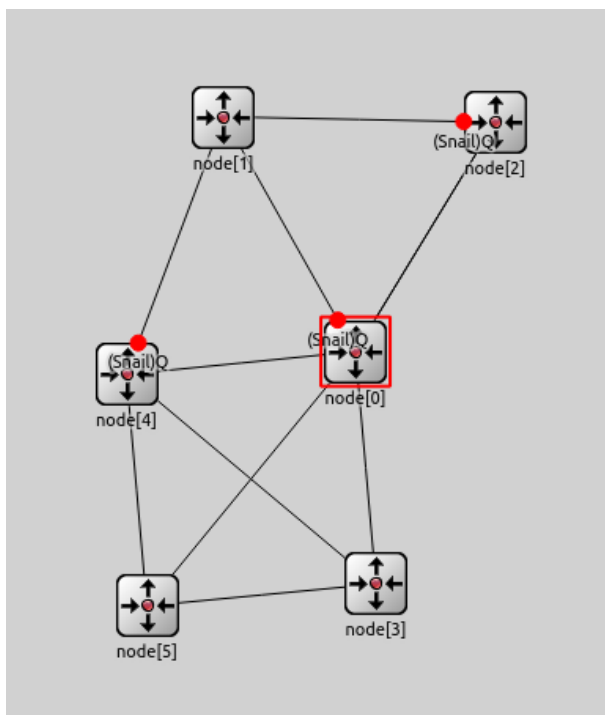
# Lab 4

## Construction d'un ACM

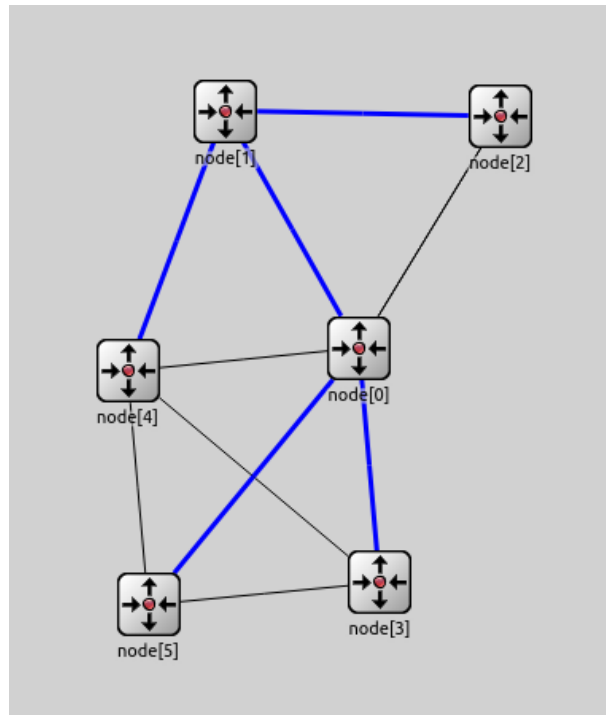
### restrictions

- l'ensemble des restrictions standard  $\mathbf{R} = \{\text{BL}, \text{CN}, \text{TR}\}$ , [ Liens bidirectionnels (BL), Connectivité (CN) et Fiabilité (TR) ].
- racine unique (L'initiateur unique est celui qui lance le protocole) **UI+**.

### Resultats

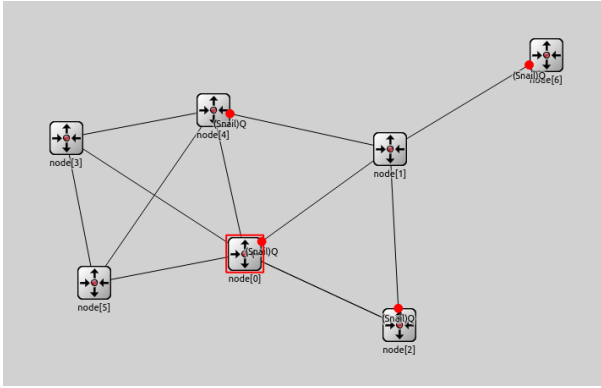


(a) topologie

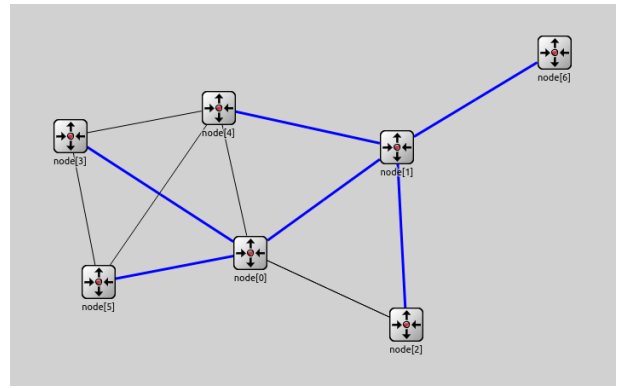


(b) resultats

FIGURE 4.1: exécution de ST\_v0

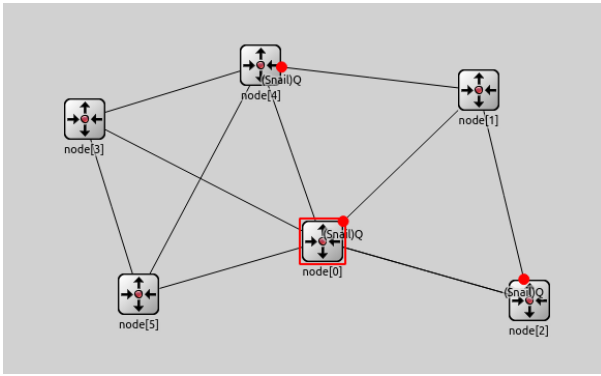


(a) topologie

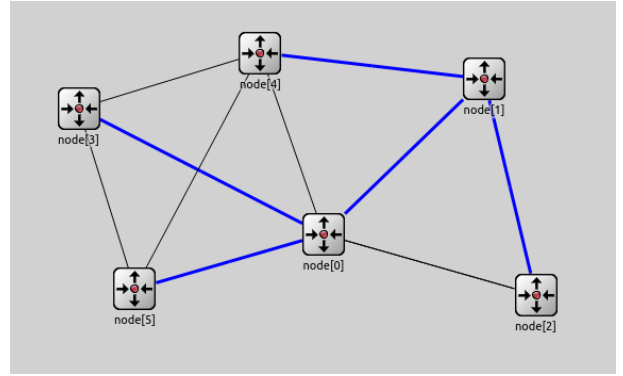


(b) resultats

FIGURE 4.2: exécution de ST\_v1(Avec terminaison global)

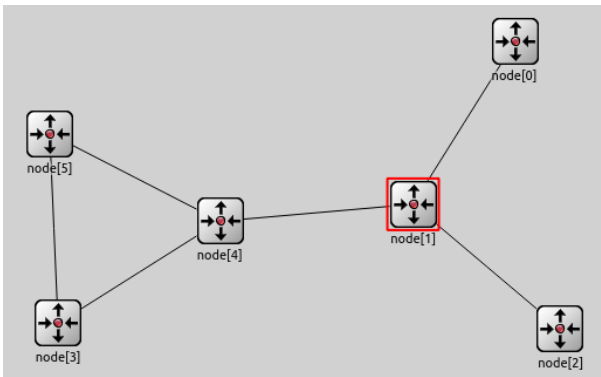


(a) topologie

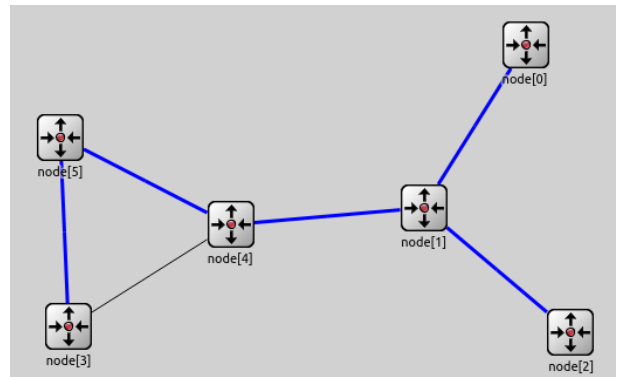


(b) resultat

FIGURE 4.3: exécution de ST\_v2(implicit negative acknowledgment)



(a) topologie



(b) resultat

FIGURE 4.4: exécution de ST\_DFT(ACM avec parcours DFT)

# Lab 5

## Routage

### restrictions

- l'ensemble des restrictions standard  $\mathbf{R} = \{\text{BL}, \text{CN}, \text{TR}\}$ , [ Liens bidirectionnels (BL), Connectivité (CN) et Fiabilité (TR) ].
- unique ID

### topologie utilisée

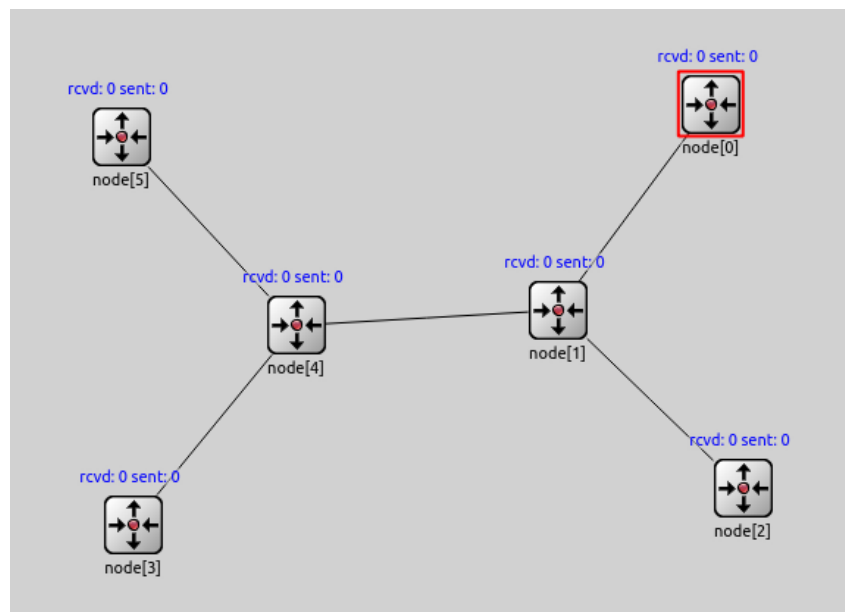


FIGURE 5.1: Arbre minimal de Steiner

# Resultats

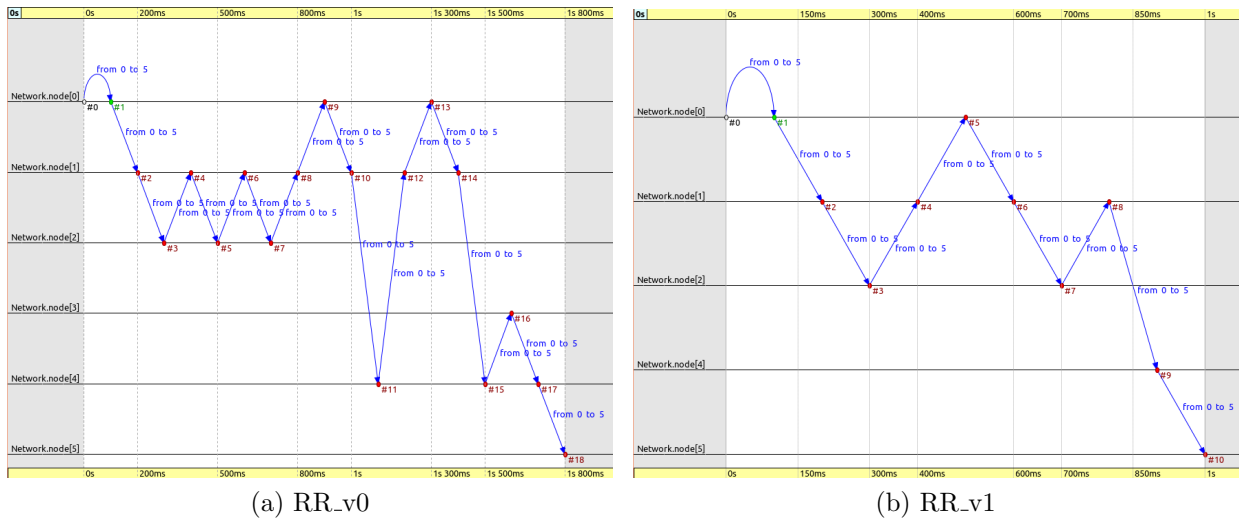


FIGURE 5.2: diagrammes espace-temps

noeud	hope_min	hope_max	hope_moyenne	hope_stddev
0	1	173	12.6541	12.366
1	1	46	3.79496	4.44399
2	1	117	12.4876	12.1094
3	1	134	12.7032	12.4133
4	1	43	3.87455	4.47895
5	1	127	12.5029	12.0173

TABLE 5.1: statistiques de RR\_v0 .

noeud	hope_min	hope_max	hope_moyenne	hope_stddev
0	1	77	7.52897	6.44112
1	1	32	2.64143	2.59375
2	1	67	7.48133	6.38516
3	1	74	7.55505	6.50084
4	1	32	2.73866	2.64254
5	1	74	7.45265	6.40722

TABLE 5.2: statistiques de RR\_v1 .



noeud	hope_min	hope_max	hope_moyenne	hope_stddev
0	0	71	3.60351	4.60219
1	0	1	0.397725	0.489433
2	0	46	3.58665	4.5868
3	0	54	3.5775	4.55982
4	0	1	0.40022	0.489908
5	0	49	3.58947	4.56117

TABLE 5.3: statistiques de RT\_v0 .

noeud	hope_min	hope_max	hope_moyenne	hope_stddev
0	0	1	0.399993	0.489898
1	0	0	0	0
2	0	1	0.402886	0.49048
3	0	1	0.39784	0.489337
4	0	0	0	0
5	0	1	0.400211	0.489943

TABLE 5.4: statistiques de RT\_v1 .

## Interprétation et Comparaison

- Selon les diagrammes espace-temps (fig 5.2), on constate que le nombre de messages issues lors de l'exécution de **RR\_v0** est nettement supérieur à ceux de **RR\_v1**. De plus on remarque l'existence de certaines paires de noeuds interchangeants des messages (pour **RR\_v0** noeuds 1 et 2 ). Or cet effet est réduit dans **RR\_v1** car un noeud ne renvoie pas un message à son expéditeur.
- D'après la table 5.1 et 5.2, il est clair que le nombre moyen de hope est diminué avec l'utilisation du protocole de routage **RR\_v1** par rapport à **RR\_v0**.
- Le nombre moyen de hope du protocole **RT** est meilleur vu que l'utilisation d'une table de routage.

# Lab 6

## Arbre de diffusion

### restrictions

- l'ensemble des restrictions standard  $\mathbf{R} = \{\text{BL}, \text{CN}, \text{TR}\}$ , [ Liens bidirectionnels (BL), Connectivité (CN) et Fiabilité (TR) ].
- unique ID

### Algorithme

Pour construire un arbre de diffusion, on a choisi de procéder comme suit :

1. Construire un ACM, on utilisant ST\_1.
2. Lance l'algorithme de saturation modifié pour la détermination du centre.
3. Commencer un parcours BFT depuis le centre.

# Resultats

## Saturation

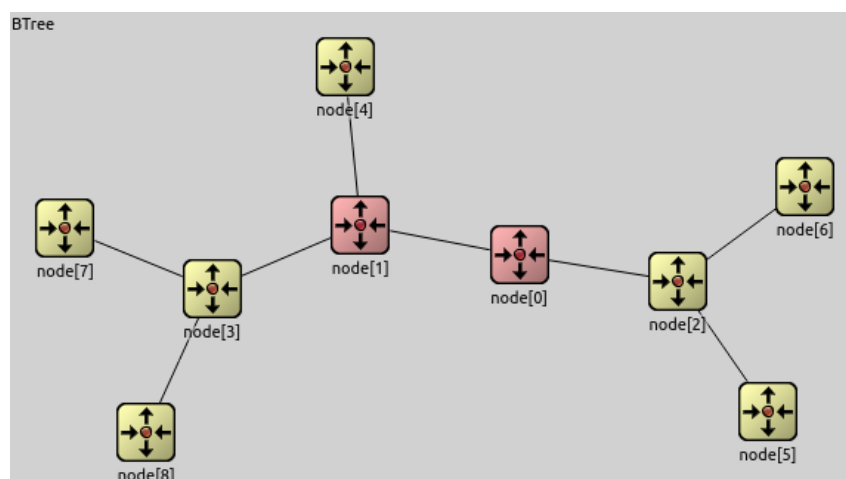


FIGURE 6.1: La saturation dans un arbre.

## Determination du centre

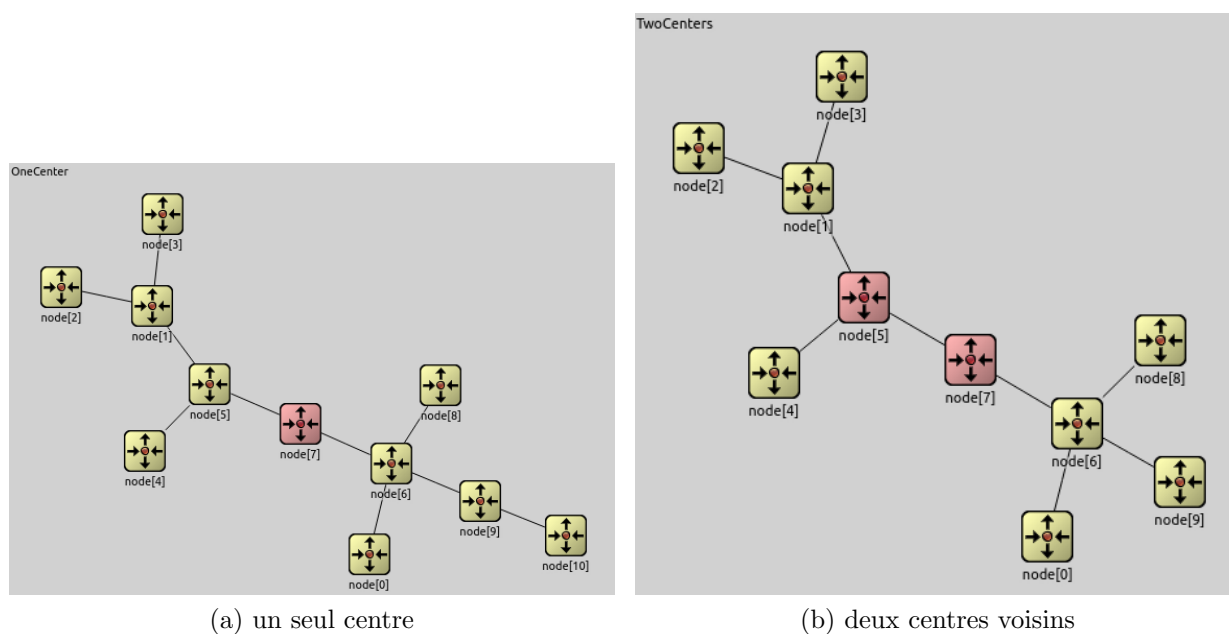
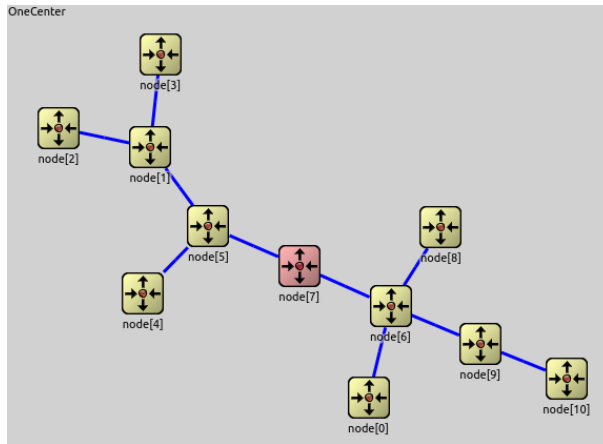
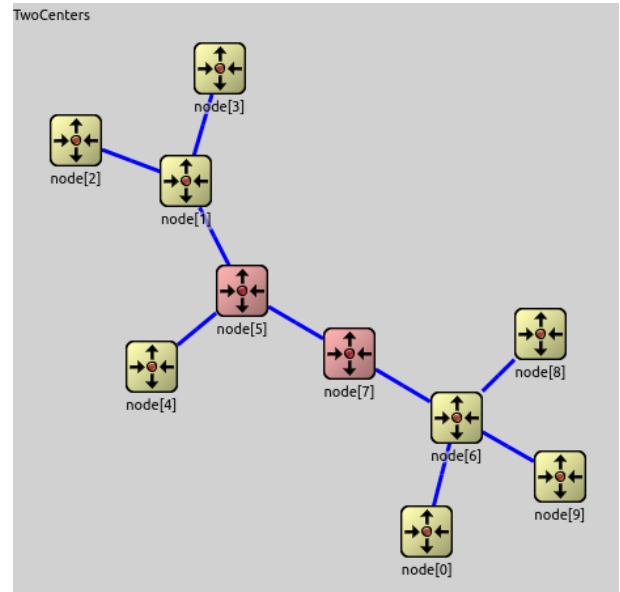


FIGURE 6.2: Cas possible du centres d'un graphe

## BFT à partir du centre

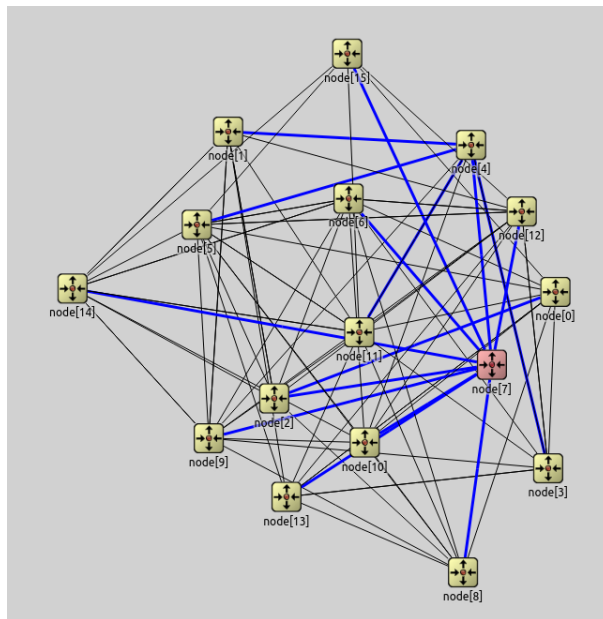


(a) Arbre avec un seul centre

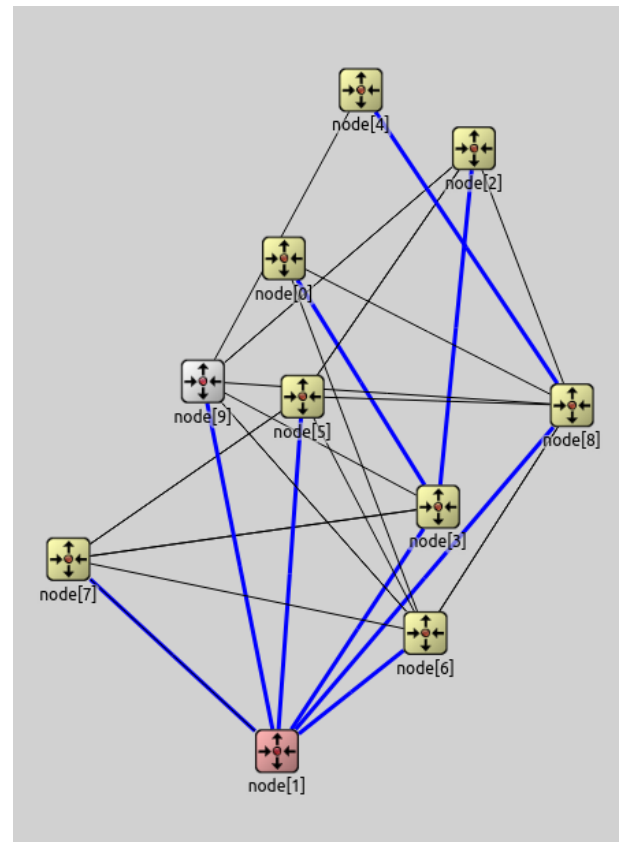


(b) Arbre avec deux centres voisins

FIGURE 6.3: Parcours BFT à partir du centre dans un arbre



(a) topologie 01



(b) topologie 02

FIGURE 6.4: Parcours BFT à partir du centre dans un graphe quelconque



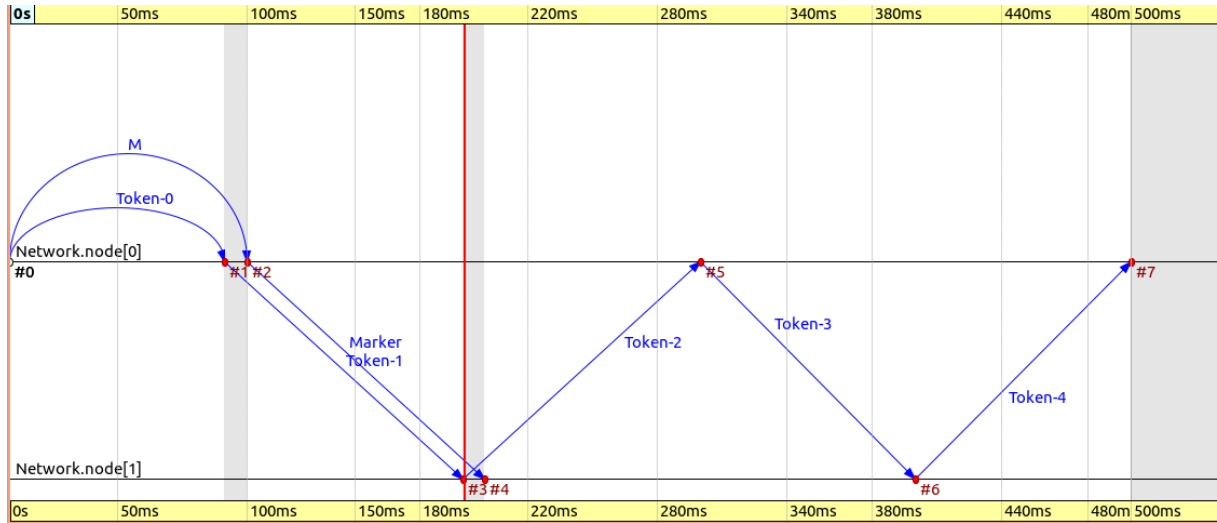


FIGURE 7.2: Diagramme espace temps de l'exécution.

```

** Initializing network
Initializing channel Network.node[0].gate$o[0].channel, stage 0
Initializing channel Network.node[1].gate$o[0].channel, stage 0
Initializing module Network, stage 0
Initializing module Network.node[0], stage 0
Initializing module Network.node[1], stage 0
** Event #1 t=0.1 Network.node[0] (Node, id=2) on Token-0 (Snail, id=0)
** Event #2 t=0.1 Network.node[0] (Node, id=2) on M (Snail, id=1)
INFO:turned Red
** Event #3 t=0.2 Network.node[1] (Node, id=3) on Token-1 (Snail, id=2)
INFO:Token-1
** Event #4 t=0.2 Network.node[1] (Node, id=3) on Marker (Snail, id=3)
** Event #5 t=0.3 Network.node[0] (Node, id=2) on Token-2 (Snail, id=4)
** Event #6 t=0.4 Network.node[1] (Node, id=3) on Token-3 (Snail, id=5)
** Event #7 t=0.5 Network.node[0] (Node, id=2) on Token-4 (Snail, id=6)
<!-- No more events, simulation completed -- at t=0.5s, event #7
** Calling finish() methods of modules

```

FIGURE 7.3: Log.

# Lab 8

## Problème de processus noirs

### Restrictions

- l'ensemble des restrictions standard  $\mathbf{R} = \{\text{BL}, \text{CN}, \text{TR}\}$ , [ Liens bidirectionnels (BL),Connectivité (CN) et Fiabilité(TR) ].
- Les identifiants des entités existent et ils sont uniques

### Enoncé

### Protocole utilisé

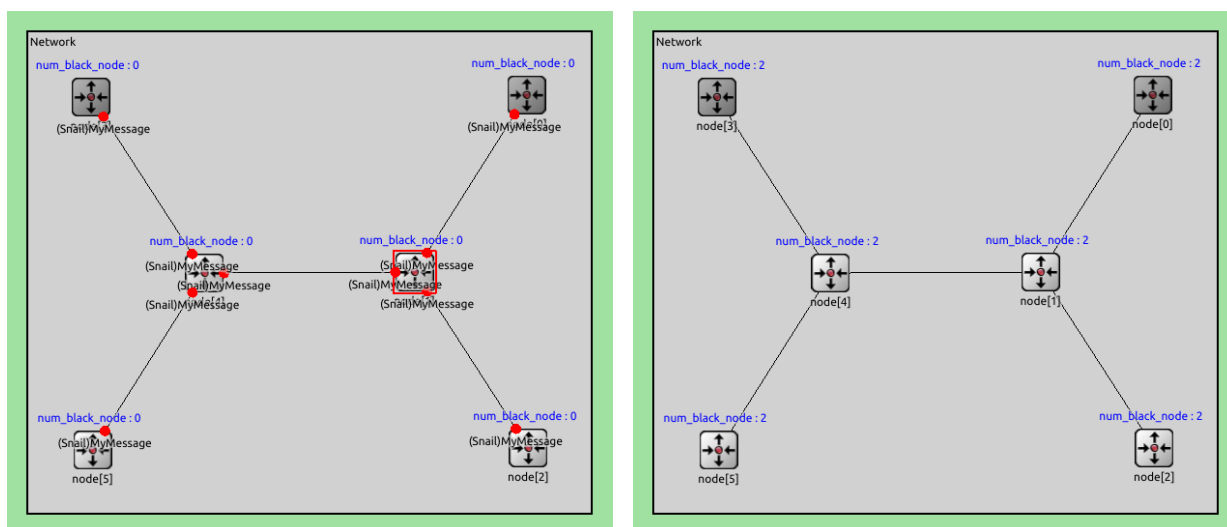
pour résoudre ce probleme un algorithme basé sur la diffusion est nécessaire.

$S_{init} = \{IDLE\}, S_{finale} = \{DONE\}$

```
1)  $IDLE \times S_p \rightarrow \{$   
    $Unknown \leftarrow N(x);$   
    $if(BLACK)\{$   
      $Black\_nodes \leftarrow \{x\}$   
    $\}else\{$   
      $White\_nodes \leftarrow \{x\}$   
    $\}$   
   diffuse();  
 $\}$   
2)  $idle \times Recieve_{(B,W,U)} \rightarrow \{$   
    $Black\_nodes \leftarrow Black\_nodes \cup B;$   
    $White\_nodes \leftarrow White\_nodes \cup W;$   
    $Unknown \leftarrow Unknown \cup U - Black\_nodes - White\_nodes;$   
  
    $if(Unknown == \emptyset)\{$   
     become  $DONE; // \#black\_nodes \leftarrow | Black\_nodes |$   
    $\}$   
   diffuse();  
 $\}$ 
```

**procedure**  $diffuse()\{send(Black\_nodes, White\_nodes, Unknown) \text{ to } N(x); \}$

# Résultas



(a) RR\_v0

(b) RR\_v1

FIGURE 8.1: Etat avant et après l'exécution du protocole



All implementation are in my Github account.

## Bibliographie

- [1] Michel Raynal, *Distributed Algorithms for Message-Passing Systems*. Springer, 2013.
- [2] Nicola Santoro, *Design and Analysis of Distributed Algorithms*. Wiley-Interscience, 2007
- [3] Fokkink, Wan *Distributed algorithms an intuitive approach*. MIT Press, 2014
- [4] Bang Ye Wu, Kun-Mao Chao *Spanning Trees and Optimization Problems*. Chapman & Hall.CRC, 2004.